

МИНОБРНАУКИ РОССИИ  
ФЕДЕРАЛЬНОЕ ГОСУДАРСТВЕННОЕ БЮДЖЕТНОЕ  
ОБРАЗОВАТЕЛЬНОЕ УЧРЕЖДЕНИЕ ВЫСШЕГО ОБРАЗОВАНИЯ  
«ВОРОНЕЖСКИЙ ГОСУДАРСТВЕННЫЙ УНИВЕРСИТЕТ»  
(ФГБОУ ВО «ВГУ»)

Факультет прикладной математики, информатики и механики

Кафедра вычислительной математики  
и прикладных информационных технологий

ЛАБОРАТОРНАЯ РАБОТА №1  
ЧИСЛЕННОЕ РЕШЕНИЕ СТАЦИОНАРНОГО  
УРАВНЕНИЯ ШРЁДИНГЕРА:  
МЕТОД ПРИСТРЕЛКИ

Направление 01.04.02 Прикладная математика и информатика  
Профиль Математическое моделирование и вычислительная математика

Зав. кафедрой \_\_\_\_\_ д. ф.-м.н., пр. А.И. Шашкин \_\_.\_\_.2023

Обучающийся \_\_\_\_\_ И.Б. Рахимов

Преподаватель \_\_\_\_\_ д.ф.-м.н., пр. Ю.К. Тимошенко

Воронеж 2023

## Содержание

Цели и задачи.....	3
1. Одномерное стационарное уравнение Шрёдингера. Математический формализм. Общие свойства решений.....	5
1.1. Нижняя оценка энергетического спектра .....	6
1.2. Свойства потенциальной энергии $U(x)$ .....	7
1.3. Осцилляционная теорема.....	8
2. Метод пристрелки .....	9
2.1. Квантовомеханических средние .....	11
3. Программная реализация.....	13
4. Результаты численных экспериментов и их анализ .....	16
Список использованных источников .....	19
Приложения .....	20
Приложение 1 Компьютерный код.....	20

## Цели и задачи

### Цели работы

Целями лабораторной работы являются практическое освоение информации, полученной при изучении курса «Компьютерное моделирование в математической физике» по теме «Численное решение стационарного уравнения Шрёдингера», а также развития алгоритмического мышления и приобретения опыта использования знаний и навыков по математике, численным методам и программированию для решения прикладных задач физико-технического характера.

### Задачи работы

**Формулировка проблемы:** электрон находится в потенциальном поле  $U(x) = V_0 \cdot v(x)$ ,  $x \in (-L, +L)$  (рис. 1):

$$v(x) = \begin{cases} -1, & x \in \left(-L, -\frac{L}{2}\right], x \in [0, L) \\ 0, & x \in \left(-\frac{L}{2}, 0\right) \\ \infty, & x \leq -L, x \geq L \end{cases}, \quad (1)$$

где  $V_0 = 15$  эВ,  $L = 2$  Å,  $n = 1$ .

1) Используя метод пристрелки, найти:

- энергии;
- нормированные волновые функции;
- плотности вероятности для основного и первого возбужденного состояний.

Привести как численные значения энергий, так и построить графики волновых функций и плотностей вероятности.

2) Вычислить для этих состояний квантовомеханические средние  $\langle T \rangle$  и  $\langle U \rangle$ .

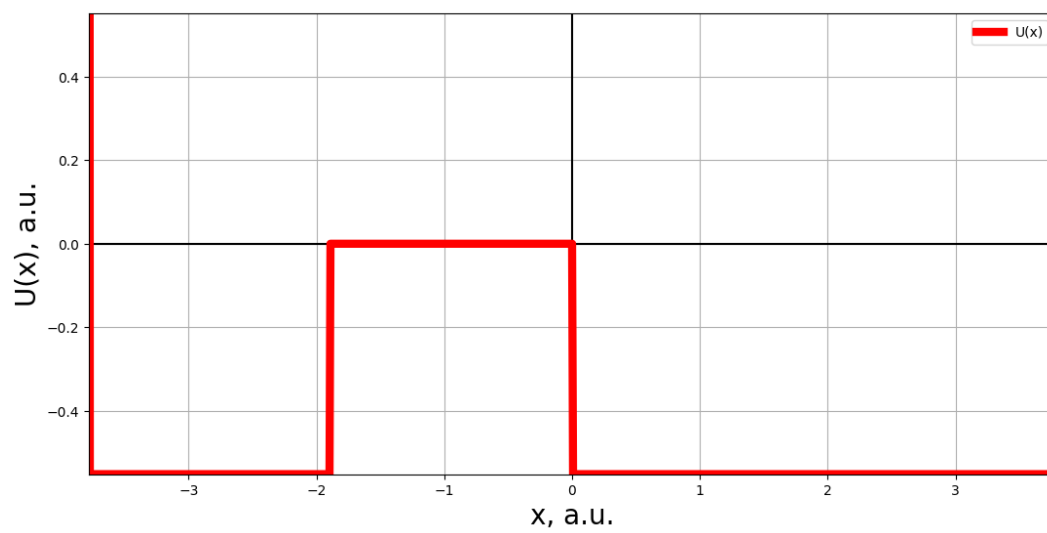


Рис. 1. Потенциальная функция

# 1. Одномерное стационарное уравнение Шрёдингера.

## Математический формализм.

### Общие свойства решений

Одномерное стационарное уравнение Шрёдингера:

$$\hat{H}\psi(x) = E\psi(x), \quad (2)$$

с математической точки зрения представляет собой задачу определения собственных значений  $E$  и собственных функций  $\psi(x)$  оператора Гамильтона  $\hat{H}$ . Для частицы с массой  $m$ , находящийся в потенциальном поле  $U(x)$ , оператор Гамильтона имеет вид:

$$\hat{H} = \hat{T} + U(x), \quad (3)$$

где  $\hat{T}$  – оператор кинетической энергии:

$$\hat{T} = -\frac{\hbar^2}{2m} \frac{d^2}{dx^2}, \quad (4)$$

а  $\hbar$  – постоянная Планка. Собственной значение оператора Гамильтона имеет смысл энергии соответствующей изолированной квантовой системы. Собственные функции называются волновыми функциями. Они полностью определяют квантовые состояния системы. Волновая функция однозначна и непрерывна во всём пространстве. Непрерывность волновой функции и её первой производной сохраняется и при обращении  $U(x)$  в  $\infty$  в некоторой области пространства. В такую область частица вообще не может проникнуть, то есть в этой области  $\psi(x) = 0$ , а также на её границе, что следует из непрерывности волновой функции.

Подставляя (3) и (4) в (2) получим:

$$\begin{aligned} \left( -\frac{\hbar^2}{2m} \frac{d^2}{dx^2} + U(x) \right) \psi(x) &= E\psi(x) \\ \left( -\frac{\hbar^2}{2m} \frac{d^2}{dx^2} + U(x) \right) \psi(x) - E\psi(x) &= 0 \\ -\frac{\hbar^2}{2m} \frac{d^2\psi(x)}{dx^2} + U(x)\psi(x) - E\psi(x) &= 0 \end{aligned}$$

$$\begin{aligned}\frac{\hbar^2}{2m} \frac{d^2\psi(x)}{dx^2} - U(x)\psi(x) + E\psi(x) &= 0 \\ \frac{\hbar^2}{2m} \frac{d^2\psi(x)}{dx^2} + (E - U(x))\psi(x) &= 0\end{aligned}\quad (5)$$

Для упрощения (5) можно использовать атомные единицы Хартри [1], в этой системе приняты в качестве исходных единиц следующие значения:  $e$  – абсолютная величина заряда электрона;  $\hbar$  – постоянная планка,  $m_e$  – масса электрона. То есть в атомных единицах Хартри  $e = 1$ ,  $\hbar = 1$  и  $m_e = 1$ . В такой системе (5) примет вид:

$$\begin{aligned}\frac{1}{2} \frac{d^2\psi(x)}{dx^2} + (E - U(x))\psi(x) &= 0 \\ \frac{d^2\psi(x)}{dx^2} + 2(E - U(x))\psi(x) &= 0\end{aligned}\quad (6)$$

$$q(E, x) = 2(E - U(x)) \quad (7)$$

$$\frac{d^2\psi(x)}{dx^2} + q(E, x)\psi(x) = 0 \quad (8)$$

В следующем разделе будет найдена нижняя оценка энергетического спектра, которая сыграет важную роль в определении собственных значений  $E$  и собственных функций  $\psi(x)$  оператора Гамильтона  $\hat{H}$ .

### 1.1. Нижняя оценка энергетического спектра

Оценим нижнюю границу энергетического спектра. Пусть минимальное значение функции  $U(x)$  равно  $U_{min}$ . Тогда  $\langle U \rangle > U_{min}$  и  $\langle T \rangle \geq 0$  [1]. Поэтому из уравнения (2) следует:

$$E = \langle H \rangle = \int_{-\infty}^{+\infty} \psi^*(x) \hat{H} \psi(x) dx = \langle T \rangle + \langle U \rangle > U_{min} \quad (9)$$

То есть энергии всех состояний больше  $U_{min}$ .

В следующем разделе в дополнении к нижней оценке энергетического спектра будут изложены свойства потенциального поля  $U(x)$ , которые будут необходимы для численного решения уравнения Шрёдингера.

## 1.2. Свойства потенциальной энергии $U(x)$

Особый практический интерес представляет случай, когда:

$$\lim_{x \rightarrow \pm\infty} U(x) = 0.$$

Для данной  $U(x)$  свойства решений уравнения Шредингера зависят от знака собственного значения  $E$ . Рассмотрим два случая:

- 1)  $E > 0$ . Частица совершает инфинитное движение. Оператор Гамильтона имеет непрерывный спектр собственных значений. Квантовые состояния непрерывного спектра называют несвязными состояниями. Частица, находящаяся в несвязном состоянии, способна уйти на бесконечность.
- 2)  $E < 0$ . Частица с отрицательной энергией совершает финитное движение. Оператор Гамильтона имеет дискретный спектр, то есть собственные значения и соответствующие собственные функции можно снабдить номерами, называемыми квантовыми числами. При  $E < 0$  уравнение (2) приобретает вид:

$$\hat{H}\psi_k(x) = E_k\psi_k(x).$$

Квантовое состояние, обладающее наименьшей энергией, называется основным, остальные состояния дискретного спектра называются возбуждёнными состояниями. Частица, находящаяся в связанном состоянии, не способна уйти на бесконечность. То есть плотность вероятности  $|\psi_k(x)|^2 \rightarrow 0$  при  $x \rightarrow \pm\infty$ , но на всех конечных расстояниях не равно нулю. В силу линейности стационарного уравнения Шрёдингера, волновые функции математически определены с точностью до постоянного множителя. Однако, из физических соображений, волновые функции должны быть нормированы следующим образом:

$$\int_{-\infty}^{+\infty} |\psi_k(x)|^2 dx = 1.$$

Можно показать, что собственные значения дискретного спектра в одномерном случае невырождены, то есть все собственные значения имеют уникальные значения.

В дальнейшем мы будем заниматься численным моделированием квантовых состояний только дискретного спектра. При этом необходимо пользоваться осцилляционной теоремой, которая будет представлена в следующем разделе.

### 1.3. Осцилляционная теорема

Упорядоченные собственные значения оператора Гамильтона в порядке возрастания, нумеруя энергию основного состояния индексом «0»:  $E_0, E_1, \dots, E_k$ . Тогда волновая функция  $k$ -го состояния  $\psi_k(x)$  будет иметь  $k$  узлов (пересечений с осью  $x$ ). Исключение: области, в которых потенциальная функция бесконечна.

В следующей главе будет описан алгоритм, который позволит с помощью полученной теоретической информации получить численное решение уравнения Шрёдингера.



## 2. Метод пристрелки

Численное моделирование будет производиться только на основном и низковозбуждённых состояниях электрона для потенциальной функции с бесконечными стенками (рис. 1). В данном отчёте для основного и первого возбуждённого состояния ( $n = 0, n = 1$ ).

Так как за пределами  $(-L, L)$   $U(x)$  обращается в  $\infty$  граничные условия для волновой функции будут иметь вид:

$$\psi(-L) = 0 = \psi(L) \quad (10)$$

Так как для собственных значений известна оценка снизу (9). То удобно начинать с вычисления энергии и волновой функции основного состояния. Оценим грубо энергию основного состояния как:

$$U = U_{min} + \varepsilon,$$

где  $\varepsilon$  малая положительная величина.

Подставим значение этой энергии в уравнение (8). Это уравнение становится обыкновенным дифференциальным уравнением второго порядка с граничными условиями (10).

Предположим, что оценка точно совпадает с собственным значением, тогда численно решенная задача Коши для полученного дифференциального уравнения интегрированием “вперёд” (начальный узел сетки на левой границе) и интегрированием “назад” (начальный узел на правой границе), должны получиться практически одинаковые результаты.

На практике оценка собственного значения в нулевом приближение отличается от точного результата, поэтому волновые функции, полученные интегрированием “вперёд” и “назад”, так же отличаются. Используя таким образом вычисленные волновые функции, можно сформулировать критерий позволяющий уточнить собственное значение с заданной точностью. Рассмотрим алгоритм, реализующий эту идею.

Зададим на интервале  $[a, b]$  сетку из  $N + 1$  узлов с постоянным шагом  $h = \frac{b-a}{N}$ :

$$x_n = a + h * i, \quad n = 0, 1, \dots, N$$

Граничные условия (10) приобретают вид:

$$\psi_0 = \psi_N = 0$$

Задачу Коши для дифференциального уравнения (8) можно решить методом Нумерова для интегрирования “вперёд”:

$$\psi_{n+1} = [2(1 - 5cq_n)\psi_n - (1 + cq_{n-1})\psi_{n-1}](1 + cq_{n+1})^{-1} \quad (11)$$

и “назад”:

$$\psi_{n-1} = [2(1 - 5cq_n)\psi_n - (1 + cq_{n+1})\psi_{n+1}](1 + cq_{n-1})^{-1} \quad (12)$$

здесь  $c = \frac{h^2}{12}$ ,  $q_n = q(E, x_n)$ . Для использования формулы (11) необходимо знать  $\psi_0$  и  $\psi_1$ , а для формулы (12) –  $\psi_{n-1}$  и  $\psi_n$ . Значения  $\psi_0$  и  $\psi_n$  известны, а  $\psi_1$  и  $\psi_{n-1}$  нет. Однако если  $N$  достаточно велико, то можно считать, что  $\psi_1 = d_1$ ,  $\psi_{n-1} = d_2$ , где  $d_1, d_2$  – малые величины в силу непрерывности волновой функции. Так же в силу Осцилляционной теоремы для нечетных состояний  $d_1$  и  $d_2$  должны быть разных знаков, для чётных одинаковых.

Для оценки близости  $E$  к собственному значению вычисляется разность производных волновых функций, полученных интегрированием “вперёд” и “назад” в некотором узле сетки  $x_m$ :

$$f(E) = \left. \frac{d\psi_>(x)}{dx} \right|_{x_m} - \left. \frac{d\psi_<(x)}{dx} \right|_{x_m} \quad (13)$$

Где  $\psi_>$ ,  $\psi_<$  – волновые функции, полученные интегрированием “вперёд” и “назад” соответственно,  $x_m$  – узел сшивки. Так же перед вычислением необходимо масштабировать волновые функции  $\psi_>$  и  $\psi_<$  так, чтобы  $\psi_>(x_m) = \psi_<(x_m)$ , такое масштабирование называется математической нормировкой.

Для расчёта производных можно воспользоваться формулой численного дифференцирования, например:

$$\left. \frac{d\psi}{dx} \right|_{x_m} = \frac{\psi(x_m - 2h) - \psi(x_m + 2h) + 8[\psi(x_m - h) - \psi(x_m + h)]}{12h}$$

Вычисление  $f$  позволяет организовать процедуру поиска собственного значения. Выбирается нулевое приближение к энергии основного приближения энергии следующим образом:

$$E^{(0)} = U_{min} + \varepsilon$$

где  $\varepsilon$  – малая положительная величина и вычислим  $f^{(0)}$  по формуле (13). Далее будем увеличивать энергии с шагом  $\Delta E$  до тех пор, пока величины  $f^{(i)}$  на двух соседних шагах  $i$  и  $i - 1$  не будут иметь различные знаки. Если шаг  $\Delta E$  меньше, чем разность энергий соседних уровней, можно быть уверенным, что искомое собственное значение находится в отрезке  $[E^{(i-1)}, E^{(i)}]$ . Далее для уточнения собственного значения можно воспользоваться любым методом решения уравнений, например методом бисекций.

В следующем разделе будут перечислены численные методы для приближения интеграла и второй производной, использующийся для вычисления квантовомеханических средних.

## 2.1. Квантовомеханических средние

Дополнительно в данной работе необходимо вычислить квантовомеханические средние  $\langle T \rangle$  и  $\langle U \rangle$  для этого понадобится выбрать метод численного интегрирования, в данной работе использовался метод трапеций для промежутка интегрирования на разделённого на одинаковые отрезки:

$$\int_a^b f(x)dx \approx h \left( \frac{f(x_0) + f(x_n)}{2} + \sum_{i=1}^{n-1} f(x_i) \right),$$

где  $h = \frac{b-a}{n}$ ,  $x_i = a + h \cdot i$ ,  $i = 0, 1, \dots, n$ .

Для этой формулы справедлива оценка погрешности  $R$ :

$$|R| \leq \frac{(b-a)^3}{12n^2} M,$$

где  $M = \max_{x \in [a, b]} |f(x_0)|$ .

Для квантовомеханического среднего кинетической энергии  $T$  дополнительно необходимо вычислить вторую производную, для этого использовались следующие формулы второго порядка точности:

$$f''(x_0) \approx \frac{2f(x_0) - 5f(x_1) + 4f(x_2) - f(x_3)}{h^2},$$

$$f''(x_i) \approx \frac{f(x_{i-1}) - 2f(x_i) + f(x_{i+1}))}{h^2}, \quad i = 1, 2, \dots, n-1,$$

$$f''(x_n) \approx \frac{2f(x_n) - 5f(x_{n-1}) + 4f(x_{n-2}) - f(x_{n-3}))}{h^2}.$$

В следующей главе будет подробно описана программная реализация изложенного выше алгоритма численного решения одномерного стационарного уравнения Шрёдингера для электрона в потенциальном поле (1).

### 3. Программная реализация

В Приложении 1 представлена программа численного решения одномерного стационарного уравнения Шрёдингера для электрона в потенциальном поле (1). Использовались атомные единицы Хартри. Программа реализована на языке Python 3.10.7 в графической среде разработки «PyCharm Community Edition 2023.2.5», использовался интерпретатор CPython, операционная система Windows 11 Профессиональная.

В строках 253-257 и 43-54 задаётся начальное условие задачи, полуширина отрезка и потенциальная функция соответственно, в строках 259-264 все величины, используемые в задаче, переводятся в атомные единицы Хартри. Далее в 470й строке вызывается основная функция разработанной программы – `main`, её определение находится в строках 266-468.

Начало функции 267-288 состоит из определения переменных задачи, таких как:

- `min_energy` – минимальная энергия;
- `forward_first_approximation` – первая аппроксимация для интегрирования вперёд;
- `backward_penultimate_approximation` – предпоследняя аппроксимация для интегрирования назад;
- `begin` – начало отрезка интегрирования;
- `end` – конец отрезка интегрирования;
- `num_intervals` – количество интервалов, используемых для решения задачи;
- `num_points` – количество точек, используемых для решения задачи;
- `connection` – узел сшивки;
- `step` – расстояние между ближайшими точками сетки;
- `x` – сетка, на которую разбивается отрезок  $[begin, end]$ ;
- `energy_step` – шаг, с которым ищется изменение знака энергии;
- `max_energy_value` – максимальное возможное значение энергии;

- `max_energy_count` – максимальное количество собственных значений, которые необходимо найти.

Далее объявленные данные используются в вызове функции `eigen_value_intervals` 290-299, которая объявлена в строках 170-216, она принимает на вход, следующий данные:

- `min_energy` – минимальное значение энергии
- `energy_step` – шаг, с которым ищется изменение знака энергии;
- `max_energy_value` – максимальное возможное значение энергии;
- `max_energy_count` – максимальное количество собственных значений, которые необходимо найти;
- `x` – сетка, на которую разбивается отрезок  $[begin, end]$ ;
- `step` – расстояние между ближайшими точками сетки;
- `forward_first_approximation` – первая аппроксимация для интегрирования вперёд;
- `backward_penultimate_approximation` – предпоследняя аппроксимация для интегрирования назад;
- `connection` – узел сшивки;

Используя эти данные, функция находит и возвращает отрезки, в которых, должны находиться собственные значения оператора Гамильтона. Для этого используются следующие вспомогательные функции:

- `is_close_energy` – вычисляет насколько близко находятся функции для интегрирования “вперёд” и “назад” для данного значения энергии 150-166;
- `compute_q` – функция для вычисления (7) 60-62;
- `forward_integration`, `backward_integration` – функции для интегрирования “вперёд” и “назад” соответственно, для заданного значения энергии 76-120;
- `normalization` – функция для достижения равенства в узле сшивки 126-137;

- `is_close` – функция для вычисления “близости” функция полученных с помощью интегрирования “вперёд” и “назад” 140-145;
- `derivative` – функция для аппроксимации первой производной 64-73.

Далее на полученных интервалах осуществляется поиск собственных значений 301-325, с помощью функции `bisection_method`, которая осуществляет поиск корней методом бисекции и объявлена в строках 5-37.

Далее для полученных значений энергии в строках 327-413 строятся графики волновой функции после интегрирования “вперёд”, “назад”, а также плотность вероятности. Для построения графиков используется Python библиотека `matplotlib`, полученные графики можно посмотреть на рисунках 2 и 3.

Так же в данной работе необходимо было вычислить квантовомеханические средние  $\langle T \rangle$  и  $\langle U \rangle$ , для всех средних необходимо численно вычислить интеграл, для этого использовался метод трапеций, который подробно описан в разделе 2.2, его реализация находится в 218-224. Дополнительно для квантовомеханического среднего  $\langle T \rangle$  необходимо вычислить приближение второй производной, функция, реализующая это находится в строках 233-249.

#### 4. Результаты численных экспериментов и их анализ

В данной работе необходимо было найти энергии, нормированные волновые функции и плотности вероятности для основного и первого возбужденного состояний.

С помощью численных методов описанных в главе 2 и реализация которых подробно прокомментирована в главе 3, получены следующие результаты:

1) для основного состояния:

$$n = 0$$

$$E_0 = 0.3404957040724568 \text{ а. е.}$$

$$\langle U \rangle_> = -0.4946963847555298$$

$$\langle U \rangle_< = -0.4946946871802064$$

$$\langle T \rangle_> = 0.15420018816513176$$

$$\langle T \rangle_< = 0.15419849059093088$$

$$R_> = E_0 - (\langle T \rangle_> + \langle U \rangle_>) = 4.925179412640368e - 07$$

$$R_< = E_0 - (\langle T \rangle_< + \langle U \rangle_<) = 4.925168187730478e - 07$$

2) для первого возбужденного состояния:

$$n = 1$$

$$E_1 = -0.02222421969745659 \text{ а. е.}$$

$$\langle U \rangle_> = -0.3587456231348717$$

$$\langle U \rangle_< = -0.35873986656146833$$

$$\langle T \rangle_> = 0.33651966855729465$$

$$\langle T \rangle_< = 0.33651391200385367$$

$$R_> = E_1 - (\langle T \rangle_> + \langle U \rangle_>) = 1.734880120445037e - 06$$

$$R_< = E_1 - (\langle T \rangle_< + \langle U \rangle_<) = 1.7348601580799428e - 06$$

где  $E_i$  – энергия  $i$  – го состояния,  $\langle T \rangle$  и  $\langle U \rangle$  – квантовомеханические средние кинетической и потенциальной энергии соответственно,  $R$  – погрешность вычисления квантовомеханических средних. Нижний индекс означает какая



волновая функция использовалась для вычисления квантовомеханических средних и их погрешностей  $\rangle$  – волновая функция была получена интегрирование “вперёд”,  $\langle$  – “назад”.

Видно, что квантовомеханические средние вычислены с шестым порядком точности, дополнительно можно проверить результаты вычислений зная что  $\langle T \rangle > 0$  и  $\langle U \rangle > U_{min}$ . В данной задаче  $U_{min} = -0.5512476571974569 \text{ а. е.}$

Вычисленные волновые функции и плотности вероятности изображены на рисунках 1 и 2, для основного и первого возбужденного состояния соответственно. На данных графиках изображены следующие данные:

- красный график – потенциальная энергия;
- оранжевый график – волновая функция, полученная интегрированием “вперёд”;
- голубой график – волновая функция, полученная интегрированием “назад”;
- чёрный график – плотность вероятности вычисленная с использованием волновая функция, полученная интегрированием “вперёд”;
- зелёный график – плотность вероятности вычисленная с использованием волновая функция, полученная интегрированием “назад”.

Так же дополнительно выведено значение энергии, погрешность его вычисления, а так же подробная легенда с единицами измерения, если они есть.

Опираясь на осцилляционную теорему, можно сказать, что графики волновых функций соответствуют найденным собственным значениям, т.к. при основном состоянии волновая функция не пересекает ось  $x$ . При первом возбуждённом состоянии, волновая функция один раз проходит через ось  $x$ .

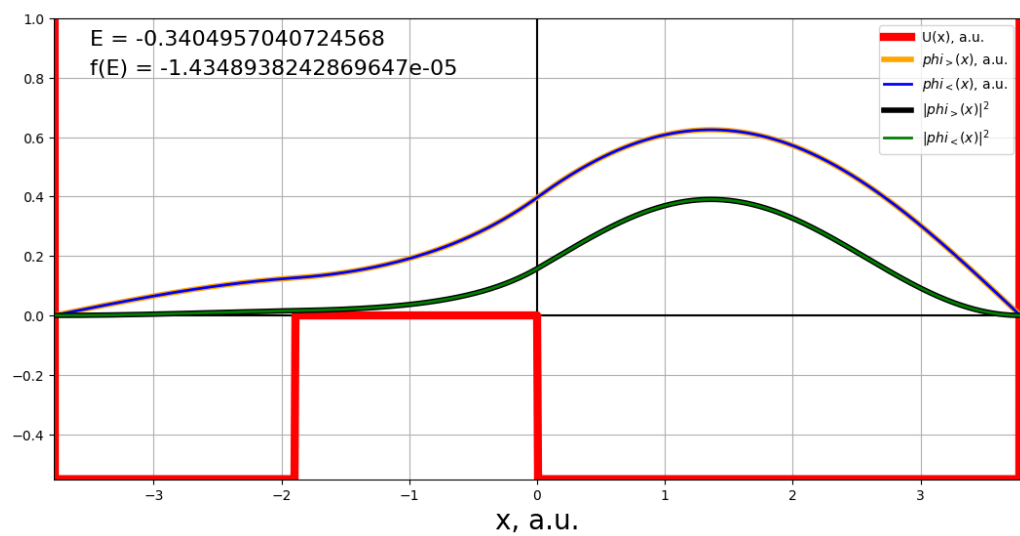


Рис. 2. Основное состояние

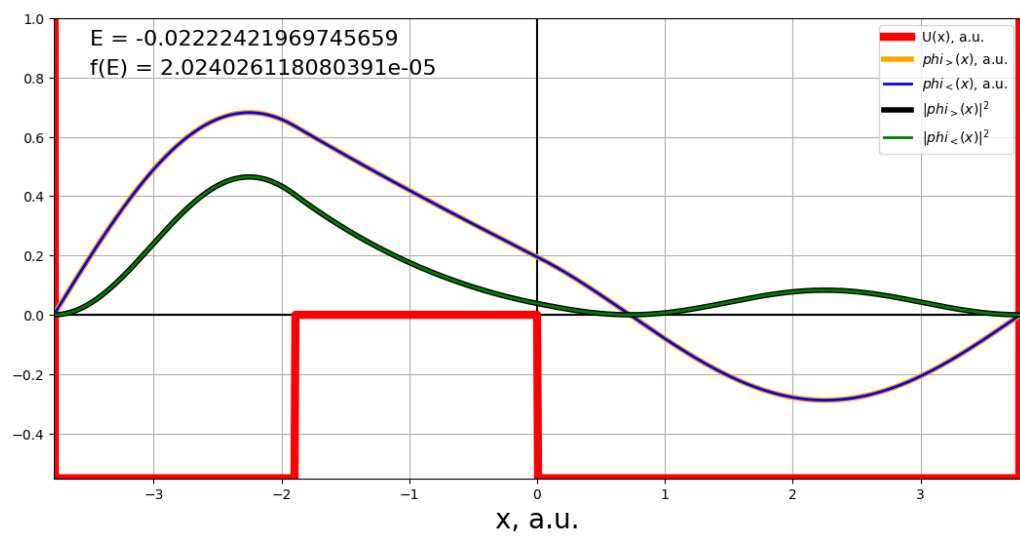


Рис. 3. Первое возбуждённое состояние

### **Список использованных источников**

1. Тимошенко Ю. К. Численное решение стационарного уравнения Шрёдингера: метод пристрелки. Учебное пособие. Воронеж: Научная книга, 2019. 35 с.
2. Давыдов А. С. Квантовая механика. СПб.: БХВ-Петербург, 2011. 704 с.
3. Бизли Д. Python. Подробный справочник. СПб.: Символ-Плюс, 2010. 864 с.
4. Марчук А. Х. Введение в Python для студентов-астрономов. Методическое пособие. СПб.: СПбГУ, 2016. 49 с.
5. Доля П. Г. Введение в научный Python. Харьков: ХНУ, 2016. 265 с.

## Приложения

### Приложение 1 Компьютерный код

```
1
2 import matplotlib.pyplot as plt
3 from math import sqrt
4
5 #####
6 ### bisection_method
7 #####
8
9 # метод деления отрезка пополам
10 def bisection_method(f, # функция корень которой необходимо найти
11                     begin:float, end:float, # начало и конец отрезка
12                                     # в котором находится корень
13                     steps:int, # максимальное количество
14                             # шагов алгоритма
15                     eps:float): # точность приближения корня
16     l = begin
17     r = end
18
19     step = 0
20
21     while step < steps:
22         step += 1
23         center = 0.5 * (r + l)
24
25         f_l = f(l)
26         f_c = f(center)
27         f_r = f(r)
28
29         if abs(f_c) < eps:
30             break
31
32         if f_l * f_c < 0:
33             r = center
34         else: # f_c * f_r < 0
35             l = center
36
37     return 0.5 * (r + l)
38
39 #####
40 ### quantum_mechanics
41 #####
42
43 def v(x:float) -> float:
44     if (x > -half_width and x < -half_width / 2.0) or
45         (x > 0 and x < half_width):
46         return -1
```

```

47     elif x >= -half_width / 2.0 and x <= 0:
48         return 0
49     else:
50         return w
51
52     # потенциальная функция
53     def U(x:float) -> float:
54         return v0 * v(x)
55
56     def q(e:float,
57           x:float) -> float:
58         return 2.0 * (e - U(x))
59
60     def compute_q(x:list[float],
61                  energy:float) -> list[float]:
62         return [q(energy, xi) for xi in x]
63
64     def derivative(function:list[float],
65                   index:int,
66                   eps:float) -> float:
67         der1 = function[index - 2] - function[index + 2]
68         der2 = function[index + 1] - function[index - 1]
69         return (
70             (der1 + 8.0 * der2)
71             / #-----
72             (12.0 * eps)
73         )
74
75     # интегрирование вперёд
76     def forward_integration(num_intervals:int,
77                           penultimate_approximation:float,
78                           q:list[float],
79                           step:float) -> list[float]:
80         num_points = num_intervals + 1
81         forward = [float] * (num_points)
82
83         forward[0] = 0.0
84         forward[1] = penultimate_approximation
85
86         c = step ** 2 / 12.0
87
88         for i in range(1, num_intervals):
89             p1 = 2.0 * (1.0 - 5.0 * c * q[i]) * forward[i]
90             p2 = (1.0 + c * q[i - 1]) * forward[i - 1]
91             p3 = (1.0 + c * q[i + 1])
92             forward[i + 1] = (
93                 (p1 - p2)
94                 / #-----
95                 p3
96             )

```

```

97
98     return forward
99
100 # интегрирование назад
101 def backward_integration(num_intervals:int,
102                          first_approximation:float,
103                          q:list[float],
104                          step:float) -> list[float]:
105     num_points = num_intervals + 1
106     backward = [float] * num_points
107
108     backward[num_intervals] = 0
109     backward[num_intervals - 1] = first_approximation
110
111     c = step ** 2 / 12.0
112
113     for i in range(num_intervals - 1, 0, -1):
114         f1 = 2.0 * (1.0 - 5.0 * c * q[i]) * backward[i]
115         f2 = (1.0 + c * q[i + 1]) * backward[i + 1]
116         backward[i - 1] = (
117             (f1 - f2)
118             / #-----
119             (1.0 + c * q[i - 1])
120             )
121
122     return backward
123
124 # функция для нормировки forward
125 # и достижения равенства на узле сшивки
126 def normalization(forward:list[float],
127                   backward:list[float],
128                   connection:int):
129     # нормировка
130     norm = abs(max(forward, key = abs))
131     forward = list(map(lambda x: x / norm, forward))
132
133     # равенство на узле сшивки - connection
134     coef = forward[connection] / backward[connection]
135     backward = list(map(lambda x: coef * x, backward))
136
137     return forward, backward
138
139 # функция возвращающая разницу производных на узле сшивки
140 def is_close(forward:list[float],
141              backward:list[float],
142              connection:int,
143              eps:float) -> float:
144     return (derivative(forward, connection, eps)
145             - derivative(backward, connection, eps))
146

```

```

147 # функция вычисляет значения волновой функции
148 # вперёд и назад по известным данным
149 # и возвращающая разницу производных на узле сшивки
150 def is_close_energy(
151     energy:float, # значение энергии
152     x:list[float], # сетка
153     step:float, # шаг сетки
154     forward_first_approximation:float,
155         # первое приближение для интегрирования вперёд
156     backward_penultimate_approximation:float,
157         # n - 1 приближение для интегрирования назад
158     connection:int) -> float: # узел сшивки
159     num_intervals = len(x) - 1
160     q = compute_q(x, energy)
161     forward = forward_integration(num_intervals,
162         forward_first_approximation, q, step)
163     backward = backward_integration(num_intervals,
164         backward_penultimate_approximation, q, step)
165     forward, backward = normalization(forward, backward, connection)
166     return is_close(forward, backward, connection, step)
167
168 # возвращает интервалы в которых
169 # находятся собственные значения оператора Гамильтона
170 def eigen_value_intervals(min_energy:float,
171     energy_step:float,
172     max_energy_value:float,
173     max_energy_count:int,
174     x:list[float],
175     step:float,
176     forward_first_approximation:float,
177         # 1 приближение для интегрирования вперёд
178     backward_penultimate_approximation:float,
179         # n - 1 приближения для интегрирования назад
180     connection:int) -> list[float]:
181     level = 0
182     sign = (1 if level % 2 == 0 else -1)
183     energy = min_energy
184     prev_close = is_close_energy(energy,
185         x,
186         step,
187         sign * forward_first_approximation,
188         backward_penultimate_approximation,
189         connection)
190
191     intervals = []
192     intervals.append(energy)
193
194     while(energy < max_energy_value):
195         energy = energy + energy_step
196         sign = (1 if level % 2 == 0 else -1)

```

```

197         close = is_close_energy(energy,
198                                   x,
199                                   step,
200                                   sign * forward_first_approximation,
201                                   backward_penultimate_approximation,
202                                   connection)
203
204         if close * prev_close < 0:
205             prev_close = close
206             intervals.append(energy)
207             intervals.append(energy)
208             level += 1
209
210             if(len(intervals) >= 2 * max_energy_count):
211                 break
212         else:
213             intervals[-1] = energy
214
215     intervals.pop()
216     return intervals
217
218 def integrate(f:list[float], step:float) -> float:
219     size = len(f)
220
221     sum = 0.0
222     for i in range(1, size - 1):
223         sum += f[i]
224     return step * ((f[0] + f[size - 1]) / 2.0 + sum)
225
226 def quantum_normalize(psi:list[float], step:float) -> list[float]:
227     density = list(map(lambda x: x * x, psi))
228     c = integrate(density, step)
229     root = 1.0 / sqrt(c)
230     normalized = list(map(lambda x: root * x, psi))
231     return normalized
232
233 def second_derivation(f:list[float], step:float):
234     num_points = len(f)
235     derivation = [float] * num_points
236
237     coef = 1 / (step * step)
238
239     derivation[0] = coef * (2 * f[0] - 5 * f[1] + 4 * f[2] - f[3])
240     derivation[num_points - 1] = (coef *
241                                   (2 * f[num_points - 1]
242                                    - 5 * f[num_points - 2]
243                                    + 4 * f[num_points - 3]
244                                    - f[num_points - 4]))
245
246     for i in range(1, num_points - 1):

```



```
print("Минимальное значение потенциальной функции =
```

```

297                                     backward_penultimate_approximation,
298                                     connection)
299     print("intervals: ", intervals)
300
301     bisection_method_steps = 100
302     bisection_method_eps = 0.0001
303
304     energies = []
305     level = 0
306     f = lambda e : is_close_energy(e,
307                                     x,
308                                     step,
309                                     forward_sign * forward_first_approximation,
310                                     backward_penultimate_approximation,
311                                     connection)
312     for i in range(max_energy_count):
313         l = intervals[2 * i]
314         r = intervals[2 * i + 1]
315         forward_sign = (1 if level % 2 == 0 else -1)
316         energy = bisection_method(
317             f,
318             l, r,
319             bisection_method_steps,
320             bisection_method_eps)
321         energies.append(energy)
322
323         level += 1
324     print("energies: ", energies, " a.u.")
325     print()
326
327     # значения для построения графиков
328     u = [U(xi) for xi in x]
329
330     q_n0 = compute_q(x, energies[0])
331     forward_n0 = forward_integration(num_intervals,
332                                     forward_first_approximation, q_n0, step)
333     backward_n0 = backward_integration(num_intervals,
334                                       backward_penultimate_approximation, q_n0, step)
335     forward_n0, backward_n0 = normalization(forward_n0,
336                                             backward_n0, connection)
337     forward_n0 = quantum_normalize(forward_n0, step)
338     backward_n0 = quantum_normalize(backward_n0, step)
339     forward_probability_n0 = list(map(lambda x: x ** 2, forward_n0))
340     backward_probability_n0 = list(map(lambda x: x ** 2, backward_n0))
341
342     q_n1 = compute_q(x, energies[1])
343     forward_n1 = forward_integration(num_intervals,
344                                     forward_first_approximation, q_n1, step)
345     backward_n1 = backward_integration(num_intervals,
346                                       backward_penultimate_approximation, q_n1, step)

```

```

347 forward_n1, backward_n1 = normalization(forward_n1,
348                                           backward_n1, connection)
349 forward_n1 = quantum_normalize(forward_n1, step)
350 backward_n1 = quantum_normalize(backward_n1, step)
351 forward_probability_n1 = list(map(lambda x: x ** 2, forward_n1))
352 backward_probability_n1 = list(map(lambda x: x ** 2, backward_n1))
353
354 # Графики
355
356 # U(x)
357 plt.axis([begin, end, min_energy, v0])
358 plt.grid(True)
359 plt.axhline(0, color='black')
360 plt.axvline(0, color='black')
361 plt.xlabel("x, B", fontsize = 20, color = "k")
362 plt.ylabel("U(x), a.u.", fontsize = 20, color = "k")
363 plt.plot(x, u, linewidth = 6, color = "red", label = "U(x)")
364 plt.legend()
365 plt.savefig("U(x).png")
366 plt.show()
367
368 # n0
369 plt.axis([begin, end, min_energy, v0 if v0 > 1 else 1])
370 plt.grid(True)
371 plt.axhline(0, color='black')
372 plt.axvline(0, color='black')
373 plt.xlabel("x, B", fontsize = 20, color = "k")
374 plt.plot(x, u, linewidth = 6, color = "red" ,
375          label = "U(x), a.u.")
376 plt.plot(x, forward_n0, linewidth = 4, color = "orange",
377          label = "$\phi_{>}(x)$, a.u.")
378 plt.plot(x, backward_n0, linewidth = 2, color = "blue",
379          label = "$\phi_{<}(x)$, a.u.")
380 plt.plot(x, forward_probability_n0, linewidth = 4,
381          color = "black", label = "$|\phi_{>}(x)|^2$")
382 plt.plot(x, backward_probability_n0, linewidth = 2,
383          color = "green" , label = "$|\phi_{<}(x)|^2$")
384 plt.legend()
385 plt.text(-3.5, 0.91, "E = " + str(energies[0]),
386          fontsize = 16, color = 'black')
387 plt.text(-3.5, 0.81, "f(E) = " + str(f(energies[0])),
388          fontsize = 16, color = 'black')
389 plt.savefig("n0.png")
390 plt.show()
391
392 # n1
393 plt.axis([begin, end, min_energy, v0 if v0 > 1 else 1])
394 plt.grid(True)
395 plt.axhline(0, color='black')
396 plt.axvline(0, color='black')

```

```

397 plt.xlabel("x, B", fontsize = 20, color = "k")
398 plt.plot(x, u, linewidth = 6, color = "red", label = "U(x), a.u.")
399 plt.plot(x, forward_n1, linewidth = 4, color = "orange",
400          label = "$\phi_{>}(x)$, a.u.")
401 plt.plot(x, backward_n1, linewidth = 2, color = "blue",
402          label = "$\phi_{<}(x)$, a.u.")
403 plt.plot(x, forward_probability_n1, linewidth = 4, color = "black"
404          label = "$|\phi_{>}(x)|^2$")
405 plt.plot(x, backward_probability_n1, linewidth = 2,
406          color = "green" , label = "$|\phi_{<}(x)|^2$")
407 plt.legend()
408 plt.text(-3.5, 0.91, "E = " + str(energies[1]), fontsize = 16,
409          color = 'black')
410 plt.text(-3.5, 0.81, "f(E) = " + str(f(energies[1])),
411          fontsize = 16, color = 'black')
412 plt.savefig("n1.png")
413 plt.show()
414
415 # квантово механические средние
416 forward_U_n0 = [forward_n0[i] * u[i] * forward_n0[i]
417                 for i in range(num_points)]
418 backward_U_n0 = [backward_n0[i] * u[i] * backward_n0[i]
419                  for i in range(num_points)]
420 U_n0_forward = integrate(forward_U_n0, step)
421 U_n0_backward = integrate(backward_U_n0, step)
422 print("<U n0> forward =", U_n0_forward)
423 print("<U n0> backward =", U_n0_backward)
424
425 forward_T_n0 = second_derivation(forward_n0, step)
426 backward_T_n0 = second_derivation(backward_n0, step)
427 forward_T_n0 = [-0.5 * forward_n0[i] * forward_T_n0[i]
428                 for i in range(num_points)]
429 backward_T_n0 = [-0.5 * backward_n0[i] * backward_T_n0[i]
430                  for i in range(num_points)]
431 T_n0_forward = integrate(forward_T_n0, step)
432 T_n0_backward = integrate(backward_T_n0, step)
433 print("<T n0> forward =", T_n0_forward)
434 print("<T n0> backward =", T_n0_backward)
435
436 print()
437
438 forward_U_n1 = [forward_n1[i] * u[i] * forward_n1[i]
439                 for i in range(num_points)]
440 backward_U_n1 = [backward_n1[i] * u[i] * backward_n1[i]
441                  for i in range(num_points)]
442 U_n1_forward = integrate(forward_U_n1, step)
443 U_n1_backward = integrate(backward_U_n1, step)
444 print("<U n1> forward =", U_n1_forward)
445 print("<U n1> backward =", U_n1_backward)
446

```

```

447 forward_T_n1 = second_derivation(forward_n1, step)
448 backward_T_n1 = second_derivation(backward_n1, step)
449 forward_T_n1 = [-0.5 * forward_n1[i] * forward_T_n1[i]
450                 for i in range(num_points)]
451 backward_T_n1 = [-0.5 * backward_n1[i] * backward_T_n1[i]
452                  for i in range(num_points)]
453 T_n1_forward = integrate(forward_T_n1, step)
454 T_n1_backward = integrate(backward_T_n1, step)
455 print("<T n1> forward =", T_n1_forward)
456 print("<T n1> backward =", T_n1_backward)
457
458 print()
459
460 print("E[0] - (<T> + <U>) forward =",
461       energies[0] - (T_n0_forward + U_n0_forward))
462 print("E[0] - (<T> + <U>) backward =",
463       energies[0] - (T_n0_backward + U_n0_backward))
464
465 print("E[1] - (<T> + <U>) forward =",
466       energies[1] - (T_n1_forward + U_n1_forward))
467 print("E[1] - (<T> + <U>) backward =",
468       energies[1] - (T_n1_backward + U_n1_backward))
469
470 main()

```